УДК 621.828.3

# БАЛАНСИРОВКА РОТОРОВ С ШАРНИРНЫМИ РАБОЧИМИ ЭЛЕМЕНТАМИ

## О.О. ПОЛУШКИН, О.А. ПОЛУШКИН, В.П. ЖАРОВ

(Донской государственный технический университет)

Разработана обобщенная рациональная технология балансировки роторов с шарнирными рабочими элементами и априорно обоснована скорость их балансировки, позволившая формализовать технологическую подготовку балансировки таких роторов.

Ключевые слова: ротор с шарнирными элементами, балансировка, технологическая подготовка.

**Введение.** Шарнирными рабочими элементами снабжаются барабаны различного рода дробилок, измельчителей, ротационных режущих аппаратов сельскохозяйственных машин и др. Схема такого ротора с горизонтальной осью вращения представлена на рис. 1 (вид с торца). Скорость его

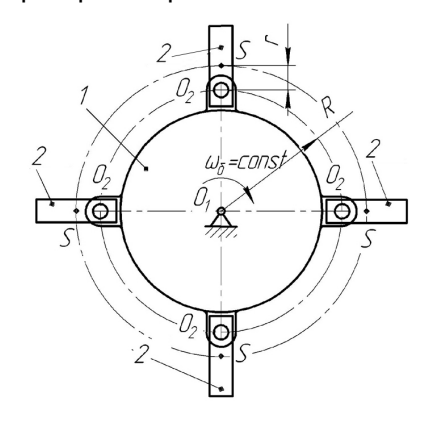


Рис. 1. Схема ротора с шарнирными рабочими элементами

вращения  $\omega_{\delta}$ . Рабочие элементы 2 ротора расположены инерционно симметрично в m рядах (на рисунке m=4) по  $n_{_{9}}$  штук в каждом ряду по образующей базовой сборочной единицы 1 (этот случай рассматривается ниже), либо по спирали.

Используемые в настоящее время технологии балансировки таких роторов, основываясь на одноразовом или многоразовом применении типовой технологии динамической балансировки в двух плоскостях коррекции [1], весьма многообразны:

- балансируют полностью собранный ротор. При замене в эксплуатации одного или нескольких рабочих элементов происходит разбалансировка;
- балансируют ротор без рабочих элементов, последние подбирают по массе (без обоснования допуска) и

устанавливают в диаметрально противоположных точках базовой сборочной единицы 1. При такой технологии ротор может иметь недопустимую неуравновешенность за счет погрешностей геометрии установки рабочих элементов;

- предыдущий вариант технологии дополняется балансировкой ротора в сборе, устраняющей дисбалансы от погрешностей геометрии установки рабочих элементов. Такая технология неэффективна из-за лишней первой операции балансировки ротора без рабочих элементов.

Помимо отсутствия технологии балансировки, лишенной недостатков всех перечисленных методов, проблемой балансировки таких роторов является обоснование значения угловой скорости  $\omega_{\delta}$  вращения их на балансировочном станке. Малое значение  $\omega_{\delta}$  не обеспечивает стабильности показаний измерительной системы балансировочного станка из-за того, что шарнирные рабочие элементы не занимают устойчивого положения в поле сил инерции вращающегося ротора. Чрезмерно большое  $\omega_{\delta}$  не рекомендуется по соображениям безопасности балансировки при значительных начальных дисбалансах, характерных для таких роторов.

Все отмеченное делает проблематичной технологическую подготовку балансировки роторов с шарнирными рабочими элементами.

**Постановка задач.** Решение поставленной проблемы сводится к разработке рациональной технологии балансировки роторов рассматриваемого класса и обоснованию наименьшего возможного значения скорости  $\omega_{\mathcal{S}}$  их вращения при балансировке.

**Решение задач.** Анализ всех представленных выше технологий позволил установить следующую рациональную технологию балансировки рассматриваемого класса роторов, лишенную всех отмеченных недостатков:

- а) подбор рабочих элементов ротора с разграничением их на несколько классов. Внутри каждого класса массы элементов находятся в определенных границах, обоснованных в работах [2, 3];
- б) сборка ротора с установкой в диаметрально противоположных точках базовой сборочной единицы 1 рабочих элементов, принадлежащих одному классу;
  - в) балансировка ротора в сборе.

Адекватность и эффективность такой технологии были многократно подтверждены ее внедрением для балансировки барабанов измельчителей зерноуборочных комбайнов семейств «Нива» и «Дон», ротационного режущего аппарата косилки-измельчителя навесной КИН-2,7 (завод «Ростсельмаш», г. Ростов-на-Дону), ротора кормодробилки ДБ-5,0 (ВНИИживмаш, г. Киев), осуществленным кафедрой «Теория механизмов и машин» ДГТУ. Однако в процессе внедрений постоянно возникала проблема нестабильности показаний измерительной системы балансировочного станка, которые существенно менялись от пуска к пуску.

Идеальное расположение шарнирных рабочих элементов в поле сил инерции, возникающих при вращении ротора на машине или на балансировочном станке, имеет место, когда центры масс S всех этих элементов лежат на прямых, проходящих через ось  $O_2$  шарнира и ось  $O_1$ , вращения ротора (рис. 1). Для обеспечения этого необходимо, прежде всего, чтобы в шарнирах не происходило заклинивание рабочих элементов и сопротивление провороту этого элемента в шарнире было минимальным. Тем не менее, даже с выполнением этих обязательных требований, объективное наличие трения в шарнирах, исполненных, как правило, в виде пар скольжения, ведет к тому, что при скорости  $\omega_\delta$  вращения ротора на балансировочном станке ( $\omega_\delta < \omega_g$  — эксплуатационной скорости — для жестких роторов) расположения рабочих элементов будут иметь отклонения от идеального.

Отмеченные отклонения являются малыми, поэтому такая конструкция ротора относится к классу с малыми отклонениями геометрии [1]. Кроме того, такие отклонения являются случайными (от пуска к пуску станка различные рабочие элементы ротора могут получать или не получать различные отклонения). Следствием этих отклонений становятся случайные локальные дисбалансы, которые, суммируясь с исходными начальными дисбалансами, делают нестабильными показания измерительной системы балансировочного станка. При различных пусках станка с таким ротором при одном и том же  $\omega_\delta$  показания его измерительной системы могут существенно меняться как по значениям, так и по углам начальных дисбалансов в плоскостях коррекции. Если эти изменения превосходят значения  $D_{\rm допІ}$ ,  $D_{\rm допІ}$  допустимых дисбалансов в плоскостях коррекции I, II, то сбалансировать такой ротор с требуемой точностью не представляется возможным.

При внедрениях представленной выше рациональной технологии балансировки обеспечение стабильности показаний измерительной системы балансировочного станка достигалось двумя путями: снижением сопротивления в шарнирах и увеличением  $\omega_{\delta}$ . При этом добивались, чтобы отклонения показаний измерительной системы станка не превосходило 0,1 значений допустимых дисбалансов в каждой из плоскостей коррекции.

Ниже представлено теоретическое обоснование эффективного способа априорного обеспечения стабильности показания измерительной системы балансировочного станка при балансировке роторов с шарнирными рабочими элементами, который и должен быть реализован на стадии технологической подготовки производства.

Решение задачи будем вести с учетом следующих допущений:

- момент трения в шарнире пропорционален реакции в нем, количественные оценки трения во всех шарнирах одинаковы;
- при запуске вращения ротора на балансировочном станке, с достижением скорости его вращения значения  $\omega_\delta$  положения всех рабочих элементов определяется и сохраняет свое расположение относительно базовой сборочной единицы 1 при последующем вращении с этой скоростью.

Реакция  $R_{12}$  в шарнире  $O_2$  определяется значением силы  $P_{_{\rm H}}$  инерции, действующей на рабочий элемент, и силы  $G_{_9}=m_{_9}g$  его веса ( $m_{_9}$  – масса рабочего элемента). Эта реакция обу-

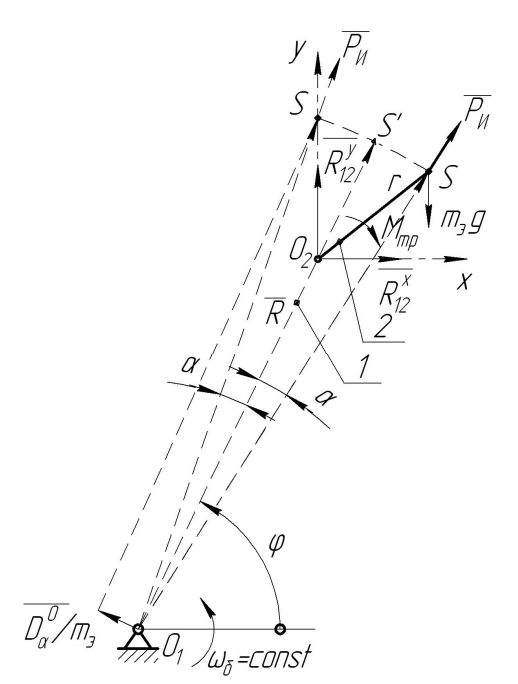


Рис. 2. К обоснованию значения  $\left| lpha_{\min}^* \right|$ 

славливает появление в шарнире  $O_2$  момента  $M_{TP}=kR_{12}$  сил трения (k – коэффициент пропорциональности, имеющий размерность длины). При отклонении рабочего элемента вращающегося ротора от идеального его положения на угол  $\pm \alpha$  сила  $P_{\rm M}$  инерции стремится привести этот элемент в идеальное положение, а момент  $M_{\rm TD}$  противодействует этому.

Рассмотрим рабочий элемент, который к моменту достижения скорости вращения ротора на балансировочном станке значения  $\omega_{\mathcal{S}} = const$  оказался в произвольном положении, определенном углом  $\varphi$  поворота центра шарнира  $O_2$  относительно оси  $O_1$  ротора. На рис. 2 представлена схема этого элемента со всеми действующими на него усилиями, которые, согласно принципу Даламбера, обеспечивают статическое равновесие этого элемента.

Условия этого равновесия:

$$\begin{cases} \sum X = P_{\text{H}} \cos(\varphi \mp \alpha) + R_{12}^{x} = 0; \\ \sum Y = P_{\text{H}} \sin(\varphi \mp \alpha) - G_{\text{g}} + R_{12}^{y} = 0; \\ \sum M_{O_{2}} = \mp M_{\text{Tp}} \pm P_{\text{H}} R\alpha - m_{\text{g}} g [(R+r)\cos(\varphi \mp \alpha) - R\cos\varphi] = 0, \end{cases}$$
(1)

где 
$$M_{TP} = kR_{12} = k\sqrt{\left(R_{12}^{x}\right)^{2} + \left(R_{12}^{y}\right)^{2}}$$

Определив из первых двух уравнений системы (1) значения  $R_{12}^x$ ,  $R_{12}^y$  и подставив их в уравнение для  $M_{\mathit{TP}}$  (учитывая, что  $\alpha$  малая величина), получим:

$$\mp kP_{\rm H}\sqrt{1-2\frac{m_{\rm g}g}{P_{\rm H}}}(\sin\varphi\mp\alpha\cos\varphi) + \left(\frac{m_{\rm g}g}{P_{\rm H}}\right)^2 \pm \pm P_{\rm H}R\alpha - m_{\rm g}g[(R+r)(\cos\varphi\pm\alpha\sin\varphi) - R\cos\varphi] = 0.$$
(2)

Для различных  $\phi$  условие равновесия (2) принимает различный вид, определяя различные значения равновесного  $\alpha$ . Это обуславливает возникновение угловых колебаний каждого рабочего элемента относительно базовой сборочной единицы при запуске вращения ротора. Не рассматривая переходный период роста скорости от нуля до  $\omega_{\delta} = const$  (при этом  $\alpha$  конечны и значительны, обусловленные этим дисбалансы ротора очень велики, что и объясняет удары при пуске), к моменту достижения скоростью вращения значения  $\omega_{\delta}$  эти колебания становятся малыми. Их наличие и является следствием вариации условий равновесия и равновесных значений  $\alpha$  каждого рабочего элемента с изменениями  $\phi$ .

Не рассматривая детально механику малых угловых относительных колебаний рабочего элемента ротора, вращающегося со скоростью  $\omega_{\delta} = const$ , следует отметить, что при наличии

трения в шарнире эти колебания являются затухающими. С их полным затуханием отклонение  $\alpha$  каждого рабочего элемента, оставаясь неизменным, будет отвечать условию

$$-\alpha_{\min}^* \le \alpha \le \alpha_{\min}^*, \tag{3}$$

где  $\left| lpha_{\min}^* \right|$  — минимальное из равновесных значений lpha при  $0 \leq \varphi < 2\pi$  .

Для выявления  $\alpha_{\min}^*$  следует использовать более точное условие равновесия рабочего элемента, представив третье уравнение системы (1) в виде:

$$\left| \mp M_{TP} \right| \ge \left| \mp P_H R \alpha + m_g g \left[ (R + r) \cos (\varphi \pm \alpha) - R \cos \varphi \right] \right|. \tag{4}$$

Лишь при одном или нескольких из значений  $\varphi=\varphi_1$  это условие становится равенством, из которого и находим  $\alpha=\left|\alpha_{\min}^*\right|$ . При прочих значениях  $\varphi$  элемент, получивший отклонение  $|\alpha|\leq\left|\alpha_{\min}^*\right|$ , будет сохранять такое отклонение, так как условие (4) будет выполняться в виде неравенства. Другие рабочие элементы ротора, вращающегося со скоростью  $\omega_\delta=const$ , принимающие при относительных колебаниях значения  $|\alpha|\leq\left|\alpha_{\min}^*\right|$ , проходя угол  $\varphi=\varphi_1$ , будут снижать свое значение  $\alpha$  вследствие того, что условие (4) при этом не будет выполняться и сила  $P_{\rm M}$  уменьшит отклонение  $|\alpha|$ . Поэтому через один или несколько оборотов ротора для всех его рабочих элементов условие (3) будет выполнено. Тем самым обеспечивается установившееся для данного запуска вращения ротора расположение всех его рабочих элементов с выполнением условия (3). При другом запуске вращения того же ротора на балансировочном станке установившееся расположение его рабочих элементов будет совершенно другим при обязательном выполнении условия (3).

В табл. 1 представлены результаты анализа условия (4) при различных значения  $\phi$ . При этом для каждого  $\phi$  из соответствующего условия равновесия (возведением его в квадрат, пренебрежением величинами высокого порядка малости, решением полученного квадратного неравенства) определили области устойчивых значений отклонений  $\alpha$  рабочего элемента, представленные неравенствами (5) — (8). Последующий анализ этих неравенств позволил установить:

- неравенство (6) имеет смысл только в случае, когда

$$\begin{cases} P_{\text{\tiny M}} - m_{_{9}}g > 0 \\ P_{\text{\tiny M}}R - m_{_{9}}g(R+r) > 0. \end{cases}$$

Таблица 1 Результаты анализа условия (4) устойчивости положения шарнирного рабочего элемента

	Условие устойчивого расположения	Значения $lpha$ , рад		
	рабочего элемента при вращении ротора			
0	$ \mp k\sqrt{P_{\scriptscriptstyle \rm H}^2+(m_{\scriptscriptstyle \ni}g)^2} \ge \mp P_{\scriptscriptstyle \rm H}R\alpha+m_{\scriptscriptstyle \ni}gr $	$-\frac{m_{_{9}}gr}{P_{_{H}}R} - \frac{k}{R}\sqrt{1 + \left(\frac{m_{_{9}}g}{P_{_{H}}}\right)^{2}} \le \alpha \le -\frac{m_{_{9}}gr}{P_{_{H}}R} + \frac{k}{R}\sqrt{1 + \left(\frac{m_{_{9}}g}{P_{_{H}}}\right)^{2}} $ (5)		
$\frac{\pi}{2}$	$ \mp k(P_{\mathtt{M}} - m_{\mathfrak{I}}g)  \geq  \mp P_{\mathtt{M}}R\alpha \pm m_{\mathfrak{I}}g(R+r)\alpha $	$-\frac{k(P_{_{\rm II}}-m_{_{9}}g)}{P_{_{\rm II}}R-m_{_{9}}g(R+r)} \le \alpha \le \frac{k(P_{_{\rm II}}-m_{_{9}}g)}{P_{_{\rm II}}R-m_{_{9}}g(R+r)} $ (6)		
π	$ \mp k\sqrt{P_{\scriptscriptstyle \rm H}^2+(m_{\scriptscriptstyle 9}g)^2} \ge \mp P_{\scriptscriptstyle \rm H}R\alpha-m_{\scriptscriptstyle 9}gr $	$\frac{m_{_{3}}gr}{P_{_{H}}R} - \frac{k}{R}\sqrt{1 + \left(\frac{m_{_{3}}g}{P_{_{H}}}\right)^{2}} \le \alpha \le \frac{m_{_{3}}gr}{P_{_{H}}R} + \frac{k}{R}\sqrt{1 + \left(\frac{m_{_{3}}g}{P_{_{H}}}\right)^{2}} $ (7)		
$\frac{3}{2}\pi$	$ \mp k(P_{_{\mathrm{H}}} + m_{_{9}}g)  \geq  \mp P_{_{\mathrm{H}}}R\alpha \mp m_{_{9}}g(R+r)\alpha $	$-\frac{k(P_{_{\rm H}}+m_{_{9}}g)}{P_{_{\rm H}}R+m_{_{9}}g(R+r)} \le \alpha \le \frac{k(P_{_{\rm H}}+m_{_{9}}g)}{P_{_{\rm H}}R+m_{_{9}}g(R+r)} $ (8)		

Учитывая, что

$$P_{\rm M} = m_{\rm B} \omega_{\delta}^2 O_1 S = m_{\rm B} \omega_{\delta}^2 \left( R \cos \alpha + \sqrt{r^2 + (R \sin \alpha)^2} \right) \approx m_{\rm B} \omega_{\delta}^2 (R + r), \tag{9}$$

оба последних неравенства могут быть удовлетворены, если необходимое условие «развертывания» шарнирных рабочих элементов ротора при его балансировке представляется как

$$\omega_{\delta} > \sqrt{g/R}$$
; (10)

- при  $\, \omega_\delta o \infty \,$ , когда в соответствии с (9)  $\, P_{_{\rm H}} o \infty \,$ , вне зависимости от значения  $\phi$ 

$$-\alpha_{\min} \le \alpha \le \alpha_{\min}, \quad \alpha_{\min} = \frac{k}{R}$$
 (11)

минимальное предельно возможное значение отклонения рабочего элемента от его идеального состояния;

- найдя производные  $dx/dP_{\rm M}$  граничных функций  $\alpha(P_{\rm M})$ , фигурирующих слева и справа в неравенствах (5) (8) для различных  $\phi$  (см. табл. 1), и установив их знак, определили монотонность изменения этих функций при вариации  $P_{\rm M}$  с изменением значения  $\sqrt{g/R} < \omega_{\delta} < \infty$ . Результаты представлены в табл. 2;
- положив  $\omega_{\delta} = \sqrt{g/R}$  и определив по (9)  $P_{M} = m_{_{9}}g\frac{R+r}{R}$ , подстановкой последнего в граничные функции нашли их значения, представленные в табл. 2;
- найдя для каждой из функций  $\alpha(P_{_{\mathrm{H}}})$  ее предел при  $P_{_{H}} \to \infty$  , значения этих пределов также представили в табл. 2.

Таблица 2 Результаты анализа граничных функций  $\,\alpha(P_{_{\!\!\mathsf{H}}})\,$  неравенств (5) – (8)

φ	F	Характер монотонности	Значение функции	$\lim \alpha(P_{\mathtt{M}})$
	Граница	в функции $\sqrt{g/R} < \omega_{\mathcal{S}} < \infty$	при $\omega_{\mathcal{S}} = \sqrt{g/R}$	$P_{\rm M} \rightarrow \infty$
0	Верхняя	Растет	$-\frac{r}{R+r} + \frac{k}{R}\sqrt{1 + \left(\frac{R}{R+r}\right)^2}$	$\frac{k}{R}$
U	Нижняя	Растет	$-\frac{r}{R+r} - \frac{k}{R} \sqrt{1 + \left(\frac{R}{R+r}\right)^2}$	$-\frac{k}{R}$
π	Верхняя	Убывает	8	$\frac{k}{R}$
$\frac{\pi}{2}$	Нижняя	Растет	- 8	$-\frac{k}{R}$
π	Верхняя	Убывает	$\frac{r}{R+r} + \frac{k}{R}\sqrt{1 + \left(\frac{R}{R+r}\right)^2}$	$\frac{k}{R}$
, and the second	Нижняя	Убывает	$-\frac{r}{R+r} - \frac{k}{R} \sqrt{1 + \left(\frac{R}{R+r}\right)^2}$	$-\frac{k}{R}$
3 _	Верхняя	Растет	$\frac{k}{2R} \left( 1 + \frac{R}{R+r} \right)$	$\frac{k}{R}$
$\frac{3}{2}\pi$	Нижняя	Убывает	$\frac{k}{2R} \left( 1 + \frac{R}{R+r} \right)$	$-\frac{k}{R}$

По результатам произведенного анализа на рис. З построены графики, характеризующие изменение граничных функций  $\alpha(\omega_\delta)$ . Из этих графиков следует, что устойчивое положение шарнирных рабочих элементов при вращении ротора на балансировочном станке при теоретическом отсутствии их отклонений от идеального положения  $\left(\alpha_{\min}^*=0\right)$  может иметь место лишь в случае, когда нижняя граница  $\alpha(P_{\scriptscriptstyle \rm H})$  при  $\varphi=\pi$  и верхняя граница  $\alpha(P_{\scriptscriptstyle \rm H})$  при  $\varphi=0$ , представленные в табл. 1, пересекают ось  $\omega_\delta$  на рис. З в общей точке, т. е. когда

$$\alpha = \frac{m_3 gr}{P_{\rm H} R} - \frac{k}{R} \sqrt{1 + \left(\frac{m_3 g}{P_{\rm H}}\right)^2} = 0.$$

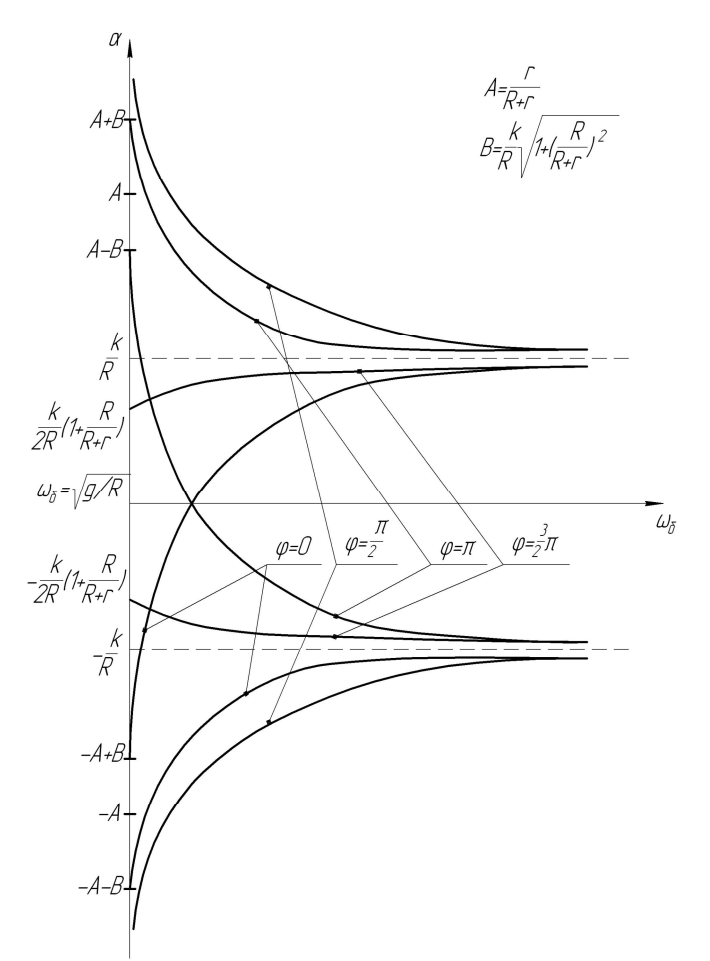


Рис. 3. Изменение граничных функций  $\alpha(\omega_\delta)$  устойчивого расположения шарнирного рабочего элемента при различных  $\phi$ 

Решая это уравнение с учетом (9), находим

$$\omega_{\delta} = \omega_{\delta_{H}} = \sqrt{\frac{g}{k} \cdot \frac{r}{R+r}} \,. \tag{12}$$

Любое отклонение скорости балансировки от значения  $\omega_{\delta_{\mathrm{H}}}$  , определенного последним выражением, приводит к возникновению отклонения lpha каждого рабочего элемента, отвечающе-

го условию (3) при  $\alpha_{\min}^* \neq 0$ . При этом с уменьшением  $\omega_{\delta}$  в сравнении с  $\omega_{\delta_{\mathbb{H}}}$  положения рабочих элементов теряют стабильность при  $\varphi=0$  и  $\varphi=\pi$ ; с увеличением  $\omega_{\delta}$  стабильность этих элементов обеспечивается при любом  $\varphi$  с появлением отклонений  $\alpha$ . Такое отклонение каждого шарнирного рабочего элемента создает у ротора локальный дисбаланс  $\overline{D}_{\alpha}^{0}$ , направленный перпендикулярно  $O_1O_2$  (см. рис. 2) и определяемый по значению как

$$\overline{D}_{\alpha}^{0} = m_{\alpha}(\overline{O_{1}S} - \overline{O_{1}S'}) = m_{\alpha}(R + r)\alpha. \tag{13}$$

Для каждого  $\dot{r}$ го шарнирного элемента из полного их множества  $N_{_9}$ , установленного инерционно симметрично на роторе в m рядах по  $n_{_9}$  в каждом из рядов ( $N_{_9}=mn_{_9}$ ), значение и угол локального дисбаланса  $\overline{D}_{\alpha_i}$ , обусловленного отклонением  $\alpha_i$  этого элемента, являются случайными величинами. Этот дисбаланс меняется от пуска к пуску балансировочного станка с одним и тем же ротором. Главный вектор дисбалансов от отклонений всех  $N_{_9}$  элементов ротора определяется как

$$\overline{D}_{\alpha} = \sum_{i=1}^{N_{\circ}} \overline{D}_{\alpha_i} = m_{\circ} \sum_{i=1}^{N_{\circ}} (\overline{O_1 S_i} - \overline{O_1 S_i'}). \tag{14}$$

Значение и угол  $\overline{D}_{\alpha}$  также будут случайными. Они будут меняться от пуска к пуску балансировочного станка с одним и тем же ротором. При больших значениях  $\overline{D}_{\alpha}$  показания измерительной системы балансировочного станка будут меняться от пуска к пуску. Особо же это сказывается после корректировки исходных дисбалансов ротора, не зависящих от отклонения его шарнирных элементов, когда значения  $\overline{D}_{\alpha}$  сравнимы со значением  $D_{\rm ст}$  допустимых дисбалансов ротора, регламентированного конструктором. Учитывая, что ротор необходимо балансировать с точностью до значения  $D_{\rm ст}$  доп , а также то, что при такой норме точности балансировки основной объем (99,3%) балансируемых роторов данного типоразмера будет производиться без каких-либо затруднений, поставим условие:

$$D_{\alpha} \le 0.1 D_{\text{стдоп}} \,. \tag{15}$$

Отыскивая далее теоретически предельное максимальное значение  $D_{\alpha}$ , рассмотрим наиболее неблагоприятный случай, когда расположение и значения локальных дисбалансов  $\overline{D}_{\alpha_i}$ ,  $i=1...N_{_9}$  обеспечивают  $D_{\alpha}=D_{\alpha\,{\rm max}}$ . При прямолинейном размещении  $n_{_9}$  шарнирных рабочих элементов вдоль оси ротора полагаем, что все эти элементы имеют отклонения  $\alpha=\pm\alpha_{{\rm min}}^*$  или  $\alpha=0$ . Поэтому экстремальные теоретически возможные значения дисбалансов, обусловленных этими отклонениями, определятся как

$$D_{\alpha j} = m_{_{3}} n_{_{3}} (R + r) \alpha_{\min}^{*}$$
 или  $D_{\alpha j} = 0$ . (16)

Обосновывая значение  $D_{\alpha\, \rm max}$ , рассмотрим сначала случай четного числа m прямолинейных рядов шарнирных элементов, расположенных инерционно симметрично по окружности. При этом отклонения  $\alpha=\pm \alpha_{\rm min}^*$  всех диаметрально противоположно распложенных элементов должны быть произведены в противоположных направлениях так, чтобы сумма каждой пары противоположных  $\overline{D}_{\alpha j}$  составляла

$$D_{\alpha_i} = 2m_{\mathfrak{I}}n_{\mathfrak{I}}(R+r)\alpha_{\min}^*, \tag{17}$$

а значение  $D_{lpha\,{
m max}}$  определялось соотношениями:

$$D_{\alpha}^{x} = D_{\alpha_{i}} \sum_{i=0}^{\frac{m}{2}-1} \cos\left(\frac{2\pi}{m} \cdot i\right); \ D_{\alpha}^{y} = D_{\alpha_{i}} \sum_{i=0}^{\frac{m}{2}-1} \sin\left(\frac{2\pi}{m} \cdot i\right); \ D_{\alpha \max} = \sqrt{\left(D_{\alpha}^{x}\right)^{2} + \left(D_{\alpha}^{y}\right)^{2}}.$$

На рис.4,a описываемый случай рассмотрен для m=6 .

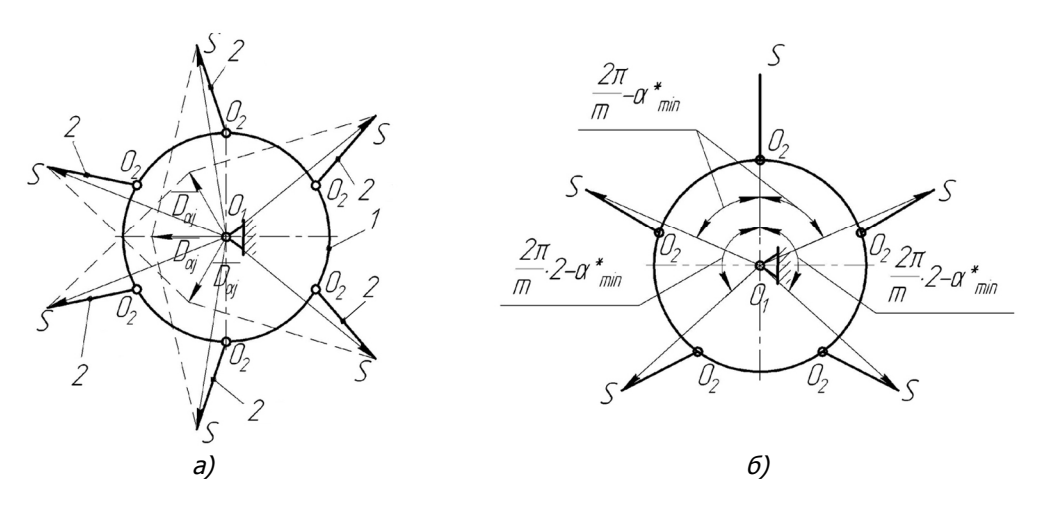


Рис. 4. К определению  $D_{lpha \max}$  при четном (a) и нечетном (b) значении m

Произведя подстановку в последние уравнения, получаем

$$D_{\alpha \max} = 2m_{_{9}}n_{_{9}}(R+r) \cdot \eta \cdot \alpha_{\min}^{*}, \qquad (18)$$

где

$$\eta = \sqrt{\left[\sum_{i=0}^{\frac{m}{2}-1} \cos\left(\frac{2\pi}{m}i\right)\right]^2 + \left[\sum_{i=0}^{\frac{m}{2}-1} \sin\left(\frac{2\pi}{m}i\right)\right]^2}.$$
 (19)

При нечетном m>1 максимальное теоретически возможное значение  $D_{\alpha}=D_{\alpha\,{\rm max}}$  имеет место, когда один из рядов элементов расположен идеально ( $\alpha=0$ ), а ряды элементов, расположенные слева и справа от него, имеют противоположенные отклонения  $\alpha=\pm\alpha_{\rm min}^*$  в сторону идеально расположенного элемента. На рис.4, $\delta$  такая модель представлена для случая m=5. Определяя при этом значение главного вектора дисбалансов ротора от этих отклонений, находим

$$D_{\alpha \max} = m_{9} n_{9} (R+r) + 2m_{9} n_{9} (R+r) \sum_{i=0}^{entier\left(\frac{m}{2}\right)} \cos\left(\frac{2\pi}{m}i - \alpha_{\min}^{*}\right) =$$

$$= m_{9} n_{9} (R+r) \left[1 + 2\sum_{i=0}^{entier\left(\frac{m}{2}\right)} \cos\left(\frac{2\pi}{m}i - \alpha_{\min}^{*}\right)\right]. \tag{20}$$

Учитывая при раскрытии косинуса разности углов малость  $lpha_{\min}^*$  , а также принимая во внимание, что при любом нечетном m

$$1+2\sum_{i=0}^{entier\left(\frac{m}{2}\right)}\cos\left(\frac{2\pi}{m}i\right)=0$$

уравнение (20) можно привести к виду (18), в котором для нечетного m:

$$\eta = \sum_{i=0}^{entier\left(\frac{m}{2}\right)} \sin\left(\frac{2\pi}{m} \cdot i\right). \tag{21}$$

Таким образом, полагая в (15)  $D_{\alpha}=D_{\alpha\,{\rm max}}$ , определенное по (18), находим минимально допустимое устойчивое отклонение шарнирного рабочего элемента при  $\varphi=0$  и  $\varphi=\pi$ , при котором балансировка такого ротора с точностью до  $D_{\rm CT, TOH}$  не вызывает затруднений:

$$\left| \pm \alpha_{\min}^* \right| = \frac{0.1 D_{\text{cr доп}}}{m_0 n_0 (R+r) \eta}$$
 (22)

Подставляя в уравнение  $\alpha(P_{_{\rm M}})$  нижней границы неравенства (7) значение  $\alpha=-\alpha_{\min}^*$  или в уравнение верхней границы неравенства (5) значение  $\alpha=\alpha_{\min}^*$  , получаем уравнение

$$\alpha_{\min}^* \cdot R + \frac{m_{_{9}}g}{P_{_{\text{II}}}} \cdot r = k \sqrt{1 + \left(\frac{m_{_{9}}g}{P_{_{\text{II}}}}\right)^2},$$

решая которое с учетом малости k в сравнении с r, находим:

$$\frac{m_{9}g}{P_{H}} = \frac{k - \alpha_{\min}^{*} \cdot R}{r} \cdot$$

Раскрывая в последнем уравнении  $P_{_{\mathrm{II}}}$  по (9), находим верхнюю границу угловой скорости  $\omega_{\delta}$  балансировки ротора с шарнирными рабочими элементами:

$$\omega_{\delta} = \omega_{\delta_B} = \sqrt{\frac{g}{k - \alpha_{\min}^* R} \cdot \frac{r}{R + r}},$$
(23)

где  $lpha_{\min}^*$  определяется по (22);

$$k = f \frac{d_{uu}}{2},\tag{24}$$

где f – коэффициент трения материалов, контактирующих в шарнире, оцениваемый по [4];  $d_{uu}$  – номинальный диаметр контактирующих поверхностей в шарнире.

Если  $k \leq \alpha_{\min}^* \cdot R$  , то верхней границы значения  $\omega_{\delta}$  не существует.

Таким образом, достаточным условием эффективной балансировки ротора с шарнирными рабочими элементами является принятие значения угловой скорости  $\omega_{\delta}$  балансировки из диапазона:

$$\sqrt{\frac{g}{k} \cdot \frac{r}{R+r}} \le \omega_{\delta} \le \sqrt{\frac{g}{k - \alpha_{\min}^* R} \cdot \frac{r}{R+r}}$$
 (25)

Все расчеты по обоснованию значения  $\, \omega_{\delta} \,$  формализованы для использования ЭВМ.

**Заключение.** Разработкой обобщенной рациональной технологии балансировки ротационных агрегатов с шарнирными рабочими элементами и обоснованием скорости балансировки таких агрегатов устранили проблему технологической подготовки их балансировки, обеспечив априорное решение всех ее задач.

## Библиографический список

- 1. Справочник по балансировке / под общ. ред. М.Е. Левита. М.: Машиностроение, 1992. 464 с.
- 2. Полушкин О.А. Задача деления области значений гауссовой случайной величины на классы с равными дисперсиями и ее приложение к обоснованию закона распределения дисбаланса / О.А. Полушкин // Динамика узлов и агрегатов сельскохозяйственных машин: сб. статей / РИСХМ. Ростов н/Д, 1978. С. 12-23.
- 3. Полушкин О.А. Уравновешивание роторов со сменными подбираемыми по массе элементами / О.А. Полушкин, Л.Е. Декамили // Тракторы и сельхозмашины. − 1980. − № 3. − С. 25-26.
- 4. Справочник машиностроителя: в 6 т. / под ред. Н.С. Ачеркана. Т.1. М.: Машгиз, 1960.

Материал поступил в редакцию 15.01.11.

#### References

- 1. Spravochnik po balansirovke / pod obsch. red. M.E. Levita. M.: Mashinostroenie, 1992. 464 s. In Russian.
- 2. Polushkin O.A. Zadacha deleniya oblasti znachenii gaussovoi sluchainoi velichiny na klassy s ravnymi dispersiyami i ee prilojenie k obosnovaniyu zakona raspredeleniya disbalansa / O.A. Polushkin // Dinamika uzlov i agregatov sel'skohozyaistvennyh mashin: sb. statei / RISHM. Rostov n/D, 1978. S. 12-23. In Russian.
- 3. Polushkin O.A. Uravnoveshivanie rotorov so smennymi podbiraemymi po masse elementami / O.A. Polushkin, L.E. Dekamili // Traktory i sel'hozmashiny. − 1980. − № 3. − S. 25-26. − In Russian.
- 4. Spravochnik mashinostroitelya: v 6 t. / pod red. N.S. Acherkana. T.1. M.: Mashgiz, 1960. In Russian.

# **BALANCING OF ROTORS WITH HINGED WORKING PARTS**

# O.O. POLUSHKIN, O.A. POLUSHKIN, V.P. ZHAROV

(Don State Technical University)

Generalized rational technology of the rotors with hinged working parts is developed. Their balancing speed is a priori established, that enables to formalize the technological preparation of those rotors balancing.

**Keywords:** rotors with hinged parts, balancing, technological preparation.